

مقاله پژوهشی

تحلیل عدم قطعیت مدل سازی زراعی - هیدرولوژیکی توزیعی و زیرروزانه یک سیستم زارعی کشت نیشکر با مدیریت ترکیبی زهکشی زیرزمینی آزاد/کنترل شده

فرزین پرچمی عراقی^{۱*} و عدنان صادقی لاری^۲

چکیده

با وجود قابلیت بالای مدل‌های زراعی- هیدرولوژیکی مزروعه- مقیاس در شبیه‌سازی اندرکنش رشد گیاه با انتقال آب و املاح، نتایج حاصل از آن‌ها در معرض درجات مختلفی از عدم قطعیت قرار دارد؛ ازین‌رو، تحلیل عدم قطعیت این مدل‌ها بهمنظور در دست داشتن برآورده‌ی کمی از درجه استحکام نتایج مدل اهمیت می‌یابد. در این مطالعه، عدم قطعیت کاربرد توزیعی و زیرروزانه نسخه تصحیح شده‌ای از مدل SWAP برای یک مزرعه نیشکر با مدیریت ترکیبی زهکشی زیرزمینی آزاد/کنترل شده (واقع در کشت و صنعت نیشکر شعبیه، خوزستان) از طریق تلفیق روش برآورد عدم قطعیت درست‌نمایی تعمیم‌یافته (GLUE) با گونه یکپارچه‌سازی شده الگوریتم بهینه‌سازی رفتار جمعی اجزا (UPSO) مورد ارزیابی قرار گرفت. در روش تلفیقی GLUE-UPSO، نمونه‌گیری از فضای پارامترهای واسنجی مدل از طریق الگوریتم UPSO و سایر مراحل محاسبات عدم قطعیت براساس روش GLUE صورت گرفت. نتایج تحلیل عدم قطعیت مدل حاکی از غیریکتایی قابل توجه پارامترهای واسنجی شده و وجود همبستگی‌های قوی بین آن‌ها بود. نتایج حاکی از اهمیت استفاده از داده‌های واسنجی متنوع در کاهش عدم قطعیت شبیه‌سازی‌های مدل بود. محدوده‌های عدم قطعیت پیش‌بینی ۹۵ درصد (95PPU) محاسبه شده برای مؤلفه‌های هیدرولوژی (رطوبت خاک، نوسانات سطح ایستابی و جریان زه‌آب خروجی از زهکش زیرزمینی)، انتقال املاح (نیم‌رخ غلظت املاح آب خاک و شوری زه‌آب) و بیوفیزیکی مدل (شاخص سطح برگ، عملکرد نی و عملکرد ساکارز) بهترتبی، بین ۱۸ تا ۶۷ و ۷۵ تا ۱۰۰ درصد از کل داده‌های اندازه‌گیری شده (مشتمل بر هر دو مجموعه داده‌های واسنجی و صحت‌سنجد) را با factor بین ۰/۷۱ تا ۰/۱۴ و ۰/۳۳ تا ۰/۱۴ در بر گرفتند. نتایج این مطالعه، مؤید قابلیت روش تلفیقی- UPSO در واسنجی و تحلیل عدم قطعیت مؤلفه‌های مختلف مدل SWAP بهطور همزمان و در شرایط تعدد پارامترهای واسنجی بود.

واژه‌های کلیدی: برآورد عدم قطعیت درست‌نمایی تعمیم‌یافته، بهینه‌سازی رفتار جمعی اجزای یکپارچه، شوری، مدل SWAP.

ارجاع: پرچمی عراقی ف. و صادقی لاری ع. ۱۴۰۰. تحلیل عدم قطعیت مدل سازی زراعی- هیدرولوژیکی توزیعی و زیرروزانه یک سیستم زارعی کشت نیشکر با مدیریت ترکیبی زهکشی زیرزمینی آزاد/کنترل شده. مجله پژوهش آب ایران. ۴۲: ۴۹-۳۷.

۱. استادیار، بخش تحقیقات فنی و مهندسی کشاورزی، مرکز تحقیقات و آموزش کشاورزی و منابع طبیعی استان اردبیل (مغان)، سازمان تحقیقات، آموزش و ترویج کشاورزی، اردبیل.
۳. استادیار گروه مهندسی آب، دانشکده کشاورزی، دانشگاه هرمزگان.

* نویسنده مسئول: f.parchamiaragh@areeo.ac.ir
تاریخ دریافت: ۱۴۰۰/۰۶/۲۵
تاریخ پذیرش: ۱۴۰۰/۰۱/۱۰

مقدمه

مدلهای شبیه‌سازی زراعی - هیدرولوژیکی ابزارهای کارآمدی در راستای تسهیل فرایندهای تصمیم‌سازی در مسائل مدیریت منابع آب و حفاظت از محیط زیست محسوب می‌شوند. با این وجود، از آنجاکه این مدل‌ها خود بیان ساده‌سازی شده‌ای از فرایندهای حاکم بر سیستم‌های زراعی هستند، پیش‌بینی‌های حاصل از آن‌ها همواره در معرض درجات مختلفی از عدم قطعیت قرار دارد؛ بنابراین به کارگیری پیش‌بینی‌های این مدل‌ها در فرایندهای تصمیم‌سازی برای مدیریت بهینه سیستم‌های زراعی، نیازمند به در دست داشتن برآورده از عدم قطعیت شبیه‌سازی‌های مدل است (تالسن و شومیکر، ۲۰۰۸). به طور کلی، منابع عدم قطعیت مدل سازی‌های هیدرولوژیکی، شامل عدم قطعیت ناشی از ساختار مدل شبیه‌سازی (به لحاظ فرضیات ساده‌سازی اتخاذی در توسعه مدل، شیوه منفصل‌سازی معادلات دیفرانسیلی و روش حل عددی مورد استفاده)، پارامترهای مجھول مدل (پارامترهایی که مقدار آن‌ها از طریق واسنجی مدل برآورده می‌شود) و خطای آزمایشی مستتر در داده‌های ورودی به مدل (مانند داده‌های هوشناکی)، شرایط اولیه و مرزی و داده‌های مورد استفاده در واسنجی و صحت‌سنجی مدل است (یون، ۲۰۰۶). افزایش تعداد پارامترهای مجھول مدل و وجود محدودیت در فراوانی و تنوع داده‌های مورد استفاده در فرایند واسنجی، منجر به خودنمایی چالش بیش‌پارامتره شدن مدل و هم‌پایانی نتایج واسنجی خواهد شد (یاستیانسن و همکاران، ۲۰۰۳)؛ بدین معنا که در این شرایط، مدل شبیه‌سازی بهازای ترکیب‌های کاملاً متفاوتی از مقادیر پارامترهای واسنجی شده به عملکردی قابل قبول در بازسازی داده‌های واسنجی دست می‌یابد (یون و بینلی، ۱۹۹۲). این امر، عدم قطعیت برآورده پارامترهای مجھول و به دنبال آن، نتایج شبیه‌سازی‌های مدل را به دنبال خواهد داشت. روش برآورده عدم قطعیت درست‌نمایی تعمیم‌یافته^۱ (GLUE) (یون و بینلی، ۱۹۹۲)، یکی از رایج‌ترین روش‌های تحلیل عدم قطعیت مدل سازی‌های هیدرولوژیکی محسوب می‌شود. این روش فرضیه‌های آماری محدود کننده بوده و از طریق آن، اثر تمامی منابع عدم قطعیت مورد اشاره بر عدم قطعیت کل شبیه‌سازی‌های مدل قابل کمی‌سازی است (یون، ۲۰۰۶).

در روش GLUE، ابتدا برای هر یک از پارامترهای مجھول مدل، یکتابع توزیع احتمال (که به توزیع پیشین معروف است) تعریف می‌شود. سپس، براساس یک حجم نمونه از پیش‌ تعیین شده و اجرای شبیه‌سازی‌های مونت‌کارلو از فضای پارامترهای مجھول مدل (فضای حاصل از دامنه تعییرات لحاظ شده برای پارامترهای مجھول در واسنجی مدل) نمونه‌گیری تصادفی صورت می‌گیرد. متعاقباً، مدل شبیه‌سازی بهازای هریک از دسته پارامترهای نمونه‌گیری شده اجرا می‌شود. با تعریف یک معیار درست‌نمایی و تعیین یک مقدار آستانه‌ای برای آن، شبیه‌سازی‌های قابل قبول و غیرقابل قبول مدل (که به ترتیب، به شبیه‌سازی‌های رفتاری و غیررفتاری معروف هستند) از یکدیگر متمایز می‌شوند.

از کاستی‌های روش GLUE، غیربهینگی آن به لحاظ بودجه محاسباتی موردنیاز و درنتیجه، محدودشدن کاربرد این روش در مدل سازی‌های هیدرولوژیکی، به ویژه در مورد مدل‌های ریاضی حجمی است (تالسن و شومیکر، ۲۰۰۸). روش‌های بهینه‌سازی تکاملی با یک هزینه محاسباتی به مراتب معقول‌تر از GLUE قادر به یافتن نواحی رفتاری فضای پارامتر و جواب بهینه سراسری مسئله مدل سازی معکوس هستند؛ از این‌رو، تلفیق روش GLUE با روش‌های بهینه‌سازی تکاملی بهمنظر بهمود بهینگی محاسبات تحلیل عدم قطعیت مدل‌های شبیه‌سازی و جستجوی هدفمندتر فضای پارامترهای مدل، مورد توجه قرار گرفته است. در این رویکرد، دسته پارامترهای رفتاری از طریق یک الگوریتم بهینه‌سازی تکاملی مورد جستجو قرار می‌گیرند و سایر مراحل محاسبات عدم قطعیت، مشابه روش اصلی GLUE است. پژوهش‌های صورت گرفته در این رابطه، حاکی از برتری گونه‌های ترکیبی GLUE در تحلیل عدم قطعیت مدل‌های هیدرولوژیکی بهازای حجم محاسبات به مراتب کمتر از روش اصلی GLUE بوده است (موگانتن و شومیکر، ۲۰۰۶؛ تالسن و شومیکر، ۲۰۰۸؛ چو و اولبیورا، ۲۰۱۴). از سوی دیگر، نشان داده شده است که این برتری با افزایش تعداد پارامترهای مجھول در واسنجی مدل به شدت نمود می‌یابد (تالسن و شومیکر، ۲۰۰۸). با توجه به قابلیت‌های بهاثبات‌رسیده، گونه‌های تلفیقی GLUE در تحلیل عدم قطعیت شبیه‌سازی مدل‌های ریاضی حجمی، به نظر می‌رسد که تلفیق روش GLUE با یک الگوریتم بهینه‌سازی تکاملی، راهکار مناسبی برای

همکاران، ۱۳۹۴) برای منطقه مطالعاتی استفاده شد. بهدلیل وسعت قابل توجه مزرعه مطالعاتی (حدود ۲۱ هکتار) و بهمنظور درنظرگرفتن ناهمگنی مکانی برنامه‌ریزی آبیاری اعمال شده در سطح مزرعه، مدل SWAP از طریق تعریف تعداد ۱۰ واحد شبیه‌سازی همگن (موسوم به هیدروتوپ) به شیوه توزیعی مورد کاربرد قرار گرفت. همچنین، با تعریف زمان آغاز و پایان هر یک از رویدادهای آبیاری محقق شده در مزرعه، امکان درنظرگرفتن زمانهای اعمال رویدادهای آبیاری طی ساعت مختلف شبانه‌روز در بخش‌های مختلف مزرعه فراهم شد. شرط مرزی پایین دست نیم رخ خاک به صورت مقادیر از پیش تعیین شده جریان از کف نیم رخ خاک با شوری معین درنظر گرفته شد. میزان جریان از کف در پنج مقطع زمانی از طول دوره شبیه‌سازی از طریق مدل‌سازی معکوس و برای سایر مقاطع زمانی از طریق درون‌بابی خطی بین مقادیر فوق برآورد شد. میزان شوری آب زیرزمینی و شوری جریان از کف نیم رخ خاک، هر یک به عنوان یک پارامتر مجهول یکتا در سراسر دوره شبیه‌سازی از طریق مدل‌سازی معکوس برآورد شد.

بهمنظور مدل‌سازی انتقال املاح در مزارع مطالعاتی، دو فرایند انتقال توده‌ای و جذب سطحی املاح (مبتنی بر ایزوترم جذب خطا) درنظر گرفته شد. مدل‌سازی سیستم زهکشی از طریق رویکرد سیستم زهکشی چندگانه مبتنی بر مفهوم مقاومت زهکشی (کروز و همکاران، ۲۰۱۷) صورت گرفت. مزرعه مطالعاتی علاوه بر دارابودن سیستم زهکشی زیرزمینی، در مجاورت یک زهکش جمع‌کننده رویاز نیز قرار داشت؛ بنابراین در فرایند مدل‌سازی، یک سیستم زهکشی زیرزمینی و یک سیستم زهکشی سطحی (با ویژگی‌های یکسان برای هر ۱۰ هیدروتوپ) درنظر گرفته شد. زهآب خروجی از هر هیدروتوپ از طریق معادله ساده زیر روندیابی شد:

$$(1) \quad T_{d,i} = T_c L_{outlet,i} / L_{outlet,max}$$

که در آن: $T_{d,i}$ به ترتیب، طول مسیر (متر) و زمان تأخیر (روز) رسیدن زهآب خروجی از هیدروتوپ نام به نقطه خروجی، T_c متوسط زمان انتقال زهآب به خروجی سیستم زهکشی (ساعت) و $L_{outlet,max}$ بیانگر فاصله دوردست‌ترین هیدروتوپ از نقطه خروجی (متر) است. شبیه‌سازی متغیرهای بیوفیزیکی با استفاده از مدل گیاهی WOFOST (سوییت و همکاران، ۱۹۹۴) صورت گرفت.

آنالیز عدم قطعیت مدل‌سازی‌های زراعی - هیدرولوژیکی توزیعی با صرف یک هزینه محاسباتی معقول باشد. طی پژوهشی، پرچمی عراقی و همکاران (۱۳۹۶) با کاربرد نسخه تصحیح شده‌ای از مدل SWAP (کروز و همکاران، ۲۰۱۷)، یک طرح مدل‌سازی زراعی - هیدرولوژیکی توزیعی با قابلیت واسنجی زیرروزانه و امکان شبیه‌سازی زهکشی زیرزمینی کنترل شده را توسعه دادند. طرح مدل‌سازی توسعه‌یافته در یکی از مزارع کشت و صنعت نیشکر امام خمینی (شعیبیه) خوزستان با مدیریت ترکیبی زهکشی زیرزمینی آزاد/کنترل شده با موفقیت مورد واسنجی و صحبت‌سنجدی قرار گرفت. هدف از پژوهش حاضر، تحلیل عدم قطعیت مدل توسعه‌یافته در پژوهش فوق از طریق تلفیق GLUE با گونه یکپارچه الگوریتم بهینه‌سازی رفتار جمعی اجزا (UPSO) (پارسوبولوس و وراهاتیس، ۲۰۰۴) بود.

مواد و روش‌ها

پژوهش حاضر در یکی از مزارع (مزرعه B1117) تحت کشت گیاه نیشکر (کشت اول، رقم ۴۸-۱۰۳) در واحد کشت و صنعت نیشکر امام خمینی (شعیبیه، بین طول جغرافیایی $۳۷^{\circ}۳۷' - ۳۷^{\circ}۳۱'$ و عرض جغرافیایی $۴۸^{\circ}۵۰' - ۴۸^{\circ}۲۰'$ شمالی) و با استفاده از بانک اطلاعات مزرعه‌ای گردآوری شده توسط صادقی لاری (۱۳۹۱) صورت گرفت (جدول ۱). مزرعه مطالعاتی مجهز به زهکش زیرزمینی آزاد (با متوسط عمق کارگذاری ۲/۱ متر) بود. مدیریت زهکشی کنترل شده (با عمق کنترل سطح ایستایی ۷۰ سانتی‌متر) طی بخشی از دوره رشد نیشکر (از اردیبهشت تا آبان ۱۳۹۰) اعمال شد. طول دوره شبیه‌سازی از ۲۸ تیر ۱۳۸۹ تا ۲۰ آذر ۱۳۹۰ (۴۸۱ روز) درنظر گرفته شد. برای مزرعه مطالعاتی، ستون خاکی با عمق ۵۵ سانتی‌متر (معادل با عمق وقوع لایه محدود کننده) و متشکل از دو لایه با ویژگی‌های ذکر شده در جدول ۲ درنظر گرفته شد. داده‌های هواشناسی دوره مطالعاتی از ایستگاه هواشناسی مزرعه نمونه منطقه مطالعاتی جمع‌آوری شد. بهمنظور محاسبه تبخیر-تعرق زیرروزانه (با مقیاس زمانی ۱۵ دقیقه‌ای) از چارچوب ریزمقیاس‌سازی داده‌های هواشناسی روزانه توسعه‌یافته تصحیح شده مدل پنمن-مانثیث ASCE (پرچمی عراقی و توسط پرچمی عراقی و همکاران (۱۳۹۴) و ویرایش

برآورد شد. جزئیات کامل نحوه برپاسازی مدل برای مزرعه مطالعاتی توسط پرچمی عراقی و همکاران (۱۳۹۹) تشریح شده است. در پژوهش حاضر، از طریق برنامه‌نویسی فرترن C++ چندپردازی و تلفیق روش GLUE با الگوریتم UPSO یک طرح تحلیل عدم قطعیت ترکیبی توسعه یافت و با کد منبع تصحیح شده‌ای از مدل SWAP (پرچمی عراقی و همکاران، ۱۳۹۹) یکپارچه‌سازی شد.

پارامترهای حساس این مدل براساس پژوهش‌های مشابه گذشته (بسما بیندر و همکاران، ۲۰۰۳) شناسایی شده (جدول ۳) و مقادیر آن‌ها از طریق مدل سازی معکوس برآورد شد. بدلیل طولانی بودن دوره رشد و توسعه گیاه نیشکر (حدود ۱۵ ماه)، مقادیر پارامترهای گیاهی S_{LA} و A_{max} (جدول ۳) در نه مقطع از دوره رشد گیاه از طریق مدل سازی معکوس و برای سایر مقاطع بازه زمانی رشد گیاه از طریق درون‌بابی خطی بین مقادیر واسنجی شده

جدول ۱- مجموعه داده‌های مورد استفاده در فرایند واسنجی و صحت‌سنجی و معیارهای شناسایی شبیه‌سازی‌های رفتاری

معیار شناسایی شبیه‌سازی‌های رفتاری	مرحله صحت‌سنجی واسنجی	داده واسنجی	مؤلفه مورد ارزیابی مدل
EF > +/%	ü	نیم‌رخ رطوبت خاک ($\text{cm}^3 \text{cm}^{-3}$)	شبیه‌سازی انتقال آب
	ü	عمق سطح ایستایی (cm)	
NRMSE < .٪	ü	جریان زه‌آب خروجی از زهکش زیرزمینی (dm^{-1})	شبیه‌سازی انتقال املاح
	ü	شوری زه‌آب خروجی از زهکش زیرزمینی (ds m^{-1})	
EF > +/٪	ü	نیم‌رخ غلظت املاح آب خاک (ds m^{-1})	شبیه‌سازی متغیرهای بیوفیزیکی
	ü	شاخص سطح برگ ($\text{cm}^2 \text{cm}^{-2}$)	
	ü	عملکرد ماده خشک ی (ton ha^{-1})	
	ü	عملکرد ماده خشک ساکارز (ton ha^{-1})	

جدول ۲- ویژگی‌های فیزیکی و شیمیابی خاک مزرعه مورد مطالعه

عمق (cm)	بافت خاک	شن (%)	سیلت (%)	رس (%)	جرم ویژه ظاهری (g cm^{-3})	کربن آلی (%)	آهک (%)	pH (-)	شوری عصاره اشباع (ds m^{-1})
۰-۳۰	لوم روسی-سیلتی	۱۴/۰۰	۵۲/۰۰	۳۴/۰۰	۱/۶	۱/۸۵	۳۹/۶۰	۷/۶۸	۲/۹۸
> ۳۰	لوم روسی-سیلتی	۱۰/۶۷	۵۲/۳۳	۳۷/۰۰	۱/۶۶	۰/۷۳	۴۰/۱۶	۷/۸۶	۲/۴۲

مجموعه داده‌های واسنجی (جدول ۱) با داده‌های شبیه‌سازی شده با ضرایب وزنی یکسان به عنوان تابع برآش مسئله مدل سازی معکوس تک‌هدفه استفاده شد. پس از اجرای مدل به‌ازای هر یک از دسته پارامترهای تولیدشده از طریق الگوریتم تلفیقی GLUE-UPSO، عملکرد مدل در بازسازی داده‌های واسنجی با استفاده از آماره‌های NRMSE و ضریب کارآیی مدل، EF، به شرح زیر مورد ارزیابی قرار گرفت:

$$NRMSE = \sqrt{\frac{\sum_{i=1}^m (P_i - O_i)^2}{m}} / \bar{O} \quad (2)$$

$$EF = 1 - \left(\frac{\sum_{i=1}^m (P_i - O_i)^2}{\sum_{i=1}^m (O_i - \bar{O})^2} \right) \quad (3)$$

که در آن‌ها: O مقدار اندازه‌گیری شده، P مقدار شبیه‌سازی شده و \bar{O} میانگین مقادیر اندازه‌گیری شده و m تعداد مقایسه‌ها است. مقادیر آماره NRMSE در دامنه ۰/۰۰ تا ۰/۱۰، ۰/۱۰ تا ۰/۲۰، ۰/۲۰ تا ۰/۳۰ و بزرگ‌تر از ۰/۳۰ به ترتیب به عنوان عملکرد بسیار خوب، خوب،

فرایند واسنجی و تحلیل عدم قطعیت مدل توسعه یافته برای مزرعه مطالعاتی، با درنظر گرفتن مجموعاً ۴۵ پارامتر مجھول (جدول ۳) انجام شد. دامنه تغییرات مجاز پارامترهای مجھول مدل براساس منابع علمی (شاید و لیث، ۱۹۹۸؛ کروز و همکاران، ۲۰۱۷) و مشاهده‌های مزرعه‌ای تعیین شد (جدول ۳). جزئیات کامل نحوه برپاسازی مدل برای مزرعه مطالعاتی توسط پرچمی عراقی و همکاران (۱۳۹۹) تشریح شده است. کران پایین دامنه تغییرات مجاز پارامتر رطوبت اشباع خاک، q_{sat} ، براساس حداقل مقدار رطوبت حجمی مشاهداتی تعیین شد. فرایند واسنجی پارامترهای مجھول مدل به‌ازای ذره (دو برابر تعداد ذرات درنظر گرفته شده در پژوهش پرچمی عراقی و همکاران (۱۳۹۹) و ۴۵۰ تکرار (مجموعاً ۱/۳۵ میلیون مرتبه اجرای مستقل مدل SWAP) صورت گرفت. از مجموع وزنی آماره ریشه میانگین خطای نرمال شده NRMSE، معادله (۲) حاصل از مقایسه مقادیر هر یک از

از مقادیر تابع برازش مسئله مدل‌سازی معکوس محاسباتی برای هر یک از دسته پارامترهای رفتاری شناسایی شده به عنوان معیار درستنمایی در محاسبه وزن‌های درستنمایی (معادله (۴)) استفاده شد. وزن‌های درستنمایی محاسبه شده بهمنظور تعیین محدوده‌های عدم قطعیت پیش‌بینی ۹۵ درصد (95PPU) برای هر یک از سری زمانی‌های شبیه‌سازی شده داده‌های واسنجی مورد استفاده قرار گرفت. محدوده‌های عدم قطعیت محاسباتی با استفاده از آماره‌های r-factor و p-factor مورد ارزیابی قرار گرفت (عباسپور، ۲۰۰۸):

$$p\text{-factor} = \frac{100}{m} \times \left| \left\{ O_i \mid P_i^{2.5\%} \leq O_i \leq P_i^{97.5\%}; i = 1, 2, \dots, m \right\} \right| \quad (5)$$

$$r\text{-factor} = \frac{\sum_{i=1}^m (P_i^{97.5\%} - P_i^{2.5\%})}{m \sigma_{obs}} \quad (6)$$

که در آنها $P_i^{2.5\%}$ و $P_i^{97.5\%}$ بهترین برآورد ساخته شده است. محدوده عدم قطعیت پیش‌بینی ۹۵ (95PPU) بالای محدوده عدم قطعیت پیش‌بینی ۹۵ (95PPU) و σ_{obs} انحراف معیار داده‌های اندازه‌گیری شده است. آماره p-factor بیانگر درصدی از داده‌های اندازه‌گیری شده واقع در محدوده ۹۵PPU است. آماره r-factor بیانگر نسبت متوسط ضخامت محدوده ۹۵PPU به انحراف معیار داده‌های اندازه‌گیری شده است (یانگ و همکاران، ۲۰۰۸). مقادیر ایده‌آل آماره‌های r-factor و p-factor برابر با ۱۰۰ درصد و صفر است.

قابل قبول و غیرقابل قبول مدل در بازسازی مقادیر اندازه‌گیری شده معیار درنظر گرفته می‌شود (لوگ و گرین، ۱۹۹۱). مقادیر آماره ضرب کارآیی مدل در دامنه ۰/۰ تا ۰/۷، ۰/۷ تا ۰/۸، ۰/۸ تا ۰/۹ و کوچکتر از ۰/۵ به ترتیب به عنوان عملکرد بسیار خوب، خوب، قابل قبول و غیرقابل قبول مدل در بازسازی مقادیر اندازه‌گیری شده می‌شود (مویرایسی و همکاران، ۲۰۰۷). به منظور تمایز ساختن دسته پارامترهای رفتاری و غیررفتاری از یکدیگر، دسته پارامتری که شبیه‌سازی‌های متناظر با آن، تمامی معیارهای وضع شده در جدول ۱ را به طور همزمان برآورده ساخت، به عنوان یک دسته پارامتر رفتاری درنظر گرفته شد. در ادامه، مجموعه دسته پارامترهای رفتاری شناسایی شده مورد پردازش قرار گرفته و با اطلاق یک وزن درستنمایی w_i (معادله (۴)) به هر یک از دسته پارامترهای رفتاری شناسایی شده، کران‌های عدم قطعیت پیش‌بینی‌های مدل در قالب صدک‌های توابع توزیع احتمال تجمعی (که به توزیع پسین معروف است) محاسبه شد.

$$w_i = \frac{L(\vartheta_i)}{\sum_{i=1}^M L(\vartheta_i)} \quad (4)$$

که در آن: w_i وزن درستنمایی مربوط به دسته پارامتر رفتاری i ام، $L(\vartheta_i)$ معیار درستنمایی متناظر با دسته پارامتر رفتاری i و M تعداد کل دسته پارامترهای رفتاری شناسایی شده است.

جدول ۳- مقادیر دامنه تغییرات مجاز، بهترین برآورد پارامترهای رفتاری برای مدل توسعه یافته در مزرعه مطالعاتی^(*)

کد پارامتر	پارامتر	شرح
دامنه تغییرات مجاز (حداکثر- حداقل) (حداکثر- حداقل)	مقدار بهینه	پارامترهای رفتاری
ضريب تغييرات (درصد)	مانگين	مانگين
۰/۰/۱	۰/۴۶۶	۰/۴۷۴
۰/۰/۲	۰/۴۱۶	۰/۴۱۸
۰/۰/۲۳	۰/۰۲۳	۰/۰۲۶
۰/۰/۲۳	۰/۰۲۳	۰/۰۱۳
۰/۰/۳۵	۱/۲۳۵	۱/۲۸۷
۰/۰/۴۱	۱/۲۴۱	۱/۲۹۲
۰/۰/۶۹	۳۸/۶۶۹	۲۰/۳۶۲
۰/۰/۵	۱۴۵/۳۹۶	۱۵/۷۷۱
۰/۰/۰	۰/۰۱۷	۰/۰۰۸
۰/۰/۳	۰/۰۱۲	۰/۰۰۸
۰/۰/۵	۰/۰۰۶	۰/۰۰۸
۰/۰/۷	۰/۰۰۴	۰/۰۰۶
۰/۰/۴	۰/۰۰۳	۰/۰۰۴
پارامترهای هیدرولیکی خاک		
P9	$(q_{Bot})_1$	جریان از کف
P10	$(q_{Bot})_2$	در پنج مقطع زمانی
P11	$(q_{Bot})_3$	
P12	$(q_{Bot})_4$	
P13	$(q_{Bot})_5$	

ادامه جدول ۳- مقادیر دامنه تغییرات مجاز، بهترین برآورد پارامترهای واسنجی و آماره‌های توصیفی مجموعه پارامترهای رفتاری برای مدل توسعه یافته در مزرعه مطالعاتی^(*)

پارامترهای رفتاری	مدار بهینه	دامنه تغییرات مجاز (حداکثر- حداقل)	کد پارامتر	شرح
میانگین	ضریب تغییرات (درصد)			
۳۲/۶	۲۴/۰۱۶	۲۵/۲۵۳	.۰/۵۰۰ - ۶۵/۰۰۰	(D _{dis}) ₁ P14
۳۸/۱	۲۷/۰۹۰	۲۰/۱۳۸	.۰/۵۰۰ - ۶۵/۰۰۰	(D _{dis}) ₂ P15
۵۹/۵	۴۸/۸۷۲	۲۴/۴۲۷	.۰/۰۰۰ - ۹۹/۰۰۰	(K _f) ₁ P16
۵۵/۴	۴۰/۰۱۲	۲۳/۸۷۴	.۰/۰۰۰ - ۹۹/۰۰۰	(K _f) ₂ P17
۱۳/۱	۲/۴۳۸	۲/۶۰۵	۱/۳۰۰ - ۳/۵۰۰	C _{gw1} P18
۲۰/۸	۳/۶۷۲	۴/۱۸۸	۱/۳۰۰ - ۵/۵۰۰	C _{Bot} P19
۹/۴	۱۴۳/۶۷۴	۱۳۱/۷۴۱	۵۰/۰۰۰ - ۲۵۰/۰۰۰	γ_{drain} P20
۲۸/۴	۳۹۰/۶/۸۲۹	۴۷۳۶/۶۸۴	۱۰۰۰/۰۰۰ - ۱۰۰۰/۰۰۰	γ_{drain2} P21
۶/۰	۷۸/۰۳۰	۷۵/۶۵۹	۵۰/۰۰۰ - ۲۵۰/۰۰۰	$g_{\text{drain,Ctrl}}$ P22
۱۷/۸	۱/۵۴۳	۱/۳۶۷	.۰/۸۰۰ - ۲/۰۰۰	T _c P23
۰/۸	۵۵۸۴/۴۳۸	۵۵۸۴/۰۲۴	۵۴۰۰/۰۰۰ - ۶۰۰۰/۰۰۰	T _{SUMEA} P24
۲۷/۵	۱۶۹۴/۸۸۴	۱۳۰۳/۳۸۰	۶۴۲/۰۰۰ - ۴۵۰/۰۰۰	T _{SUMAM} P25
۹/۶	.۰/۰۳۰	.۰/۰۲۹	.۰/۰۱۵ - .۰/۰۵۰	RGRLAI P26
۳۳/۳	.۰/۰۰۷	.۰/۰۰۵	.۰/۰۰۴ - .۰/۰۱۹	(S _{LA}) ₁ P27
۲۷/۳	.۰/۰۰۷	.۰/۰۰۸	.۰/۰۰۴ - .۰/۰۱۹	(S _{LA}) ₂ P28
۲۸/۲	.۰/۰۰۶	.۰/۰۰۸	.۰/۰۰۴ - .۰/۰۱۹	(S _{LA}) ₃ P29
۱۴/۱	.۰/۰۱۰	.۰/۰۱۰	.۰/۰۰۴ - .۰/۰۱۹	(S _{LA}) ₄ P30
۱۲/۲	.۰/۰۱۴	.۰/۰۱۳	.۰/۰۰۴ - .۰/۰۱۹	(S _{LA}) ₅ P31
۱۰/۹	.۰/۰۱۵	.۰/۰۱۴	.۰/۰۰۴ - .۰/۰۱۹	(S _{LA}) ₆ P32
۸/۳	.۰/۰۱۳	.۰/۰۱۳	.۰/۰۰۴ - .۰/۰۱۹	(S _{LA}) ₇ P33
۲۷/۸	.۰/۰۰۸	.۰/۰۰۷	.۰/۰۰۴ - .۰/۰۱۹	(S _{LA}) ₈ P34
۱۷/۰	.۰/۰۰۱۶	.۰/۰۱۴	.۰/۰۰۴ - .۰/۰۱۹	(S _{LA}) ₉ P35
۹/۲	.۰/۴۸۸	.۰/۵۰۱	.۰/۳۰۰ - .۰/۸۰۰	EFF P36
۱۵/۳	۳۴/۶۵۱	۳۶/۲۷۹	.۰/۰۰۰ - ۸۵/۰۰۰	(A _{max}) ₁ P37
۶۵/۳	۱۴/۳۲۱	۱۸/۵۹۷	.۰/۰۰۰ - ۸۵/۰۰۰	(A _{max}) ₂ P38
۸۳/۰	۲۰/۷۲۵	۷/۶۹۰	.۰/۰۰۰ - ۸۵/۰۰۰	(A _{max}) ₃ P39
۱۰/۳	۶۳/۰۴۱	۶۴/۶۷۹	.۰/۰۰۰ - ۸۵/۰۰۰	(A _{max}) ₄ P40
۲۱/۰	۶۳/۱۷۴	۷۳/۴۵۴	.۰/۰۰۰ - ۸۵/۰۰۰	(A _{max}) ₅ P41
۱۸/۸	۴۲/۴۸۲	۴۳/۸۹۹	.۰/۰۰۰ - ۸۵/۰۰۰	(A _{max}) ₆ P42
۳۱/۲	۲۹/۵۳۰	۳۵/۱۴۵	.۰/۰۰۰ - ۸۵/۰۰۰	(A _{max}) ₇ P43
۴۹/۸	۳۱/۴۷۳	۴۲/۷۰۴	.۰/۰۰۰ - ۸۵/۰۰۰	(A _{max}) ₈ P44
۸۹/۸	۴/۲۶۰	۵/۸۹۳	.۰/۰۰۰ - ۸۵/۰۰۰	(A _{max}) ₉ P45

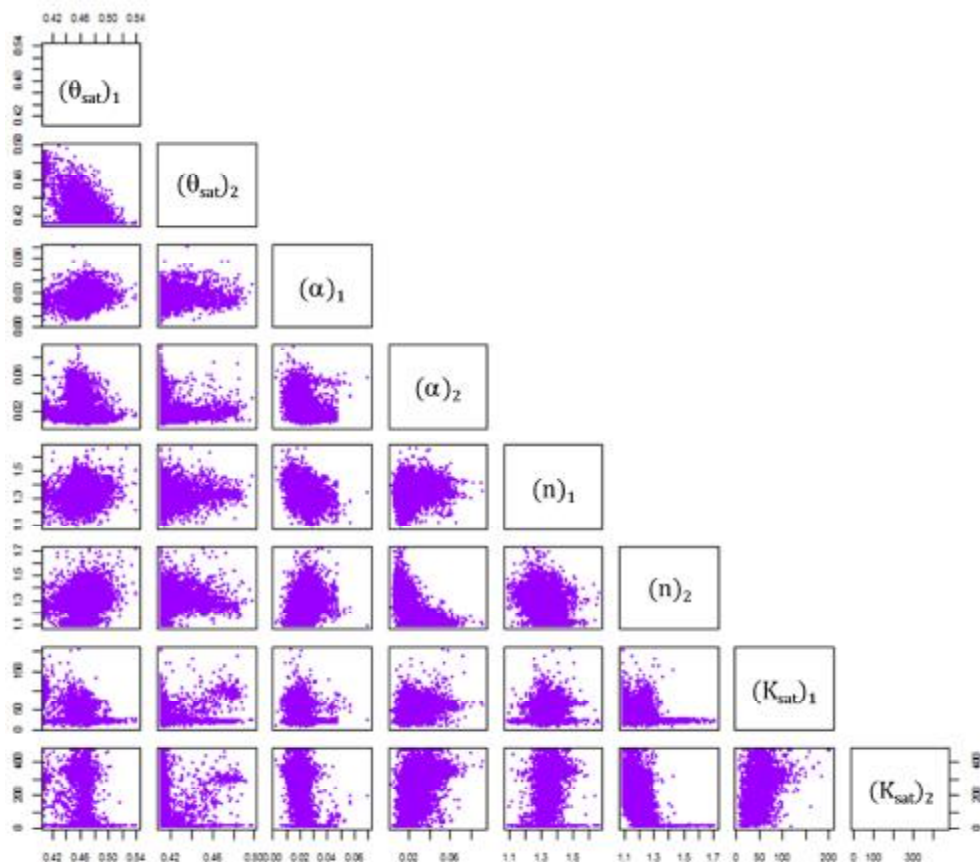
^(*) در جدول فوق، q_{sat} رطوبت خاک در حالت اشباع ($\text{cm} \text{ d}^{-1}$) (بدون بعد)، m (cm³)، a (cm³ cm⁻³)، n (cm⁻¹)، K_{sat} هدايت هیدرولوژيکي اشباع (cm⁻¹ cm⁻³ mg⁻¹) استفاده در مدل‌های معلم و نونگختن، D_{dis} و D_{Bot} بهترتبی، ضریب انتشار لذب خلی (cm)، ضریب ایزوتربور جذب خلی (cm⁻¹ cm⁻³ g⁻¹)، q_{Bot} شوری جریان از نک (mg) و T_c و $T_{\text{drain,Ctrl}}$ و T_{drain2} بهترتبی، مقاومت زهکشی زیرزمینی آزاد، کشتل شده و جمع کننده روپایز (d) و متوسط زمان انتقال زهاب به خروجی سیستم زهکشی (h) شوری آب زیرزمینی (mg cm⁻³)، EFF بهترتبی، A_{max} و A_{max} بهترتبی، بیانگر مجموع دما از مرحله جوانهزنی تا گلدهی (°C)، مجموع دما از مرحله گلدهی تا بلوغ (C)، حداکثر افزایش نسبی شاخص سطح برق (ha⁻¹ h⁻¹ / J m² s⁻¹)، سطح وبره برق (m² d⁻¹)، حداکثر شدت جذب دی اکسید کربن (CO₂ kg m⁻² d⁻¹) و راندمان مصرف نور در یک برج منفرد (kg) پارامترهای رفتاری منحصر به فرد) از طریق طرح تحلیل عدم قطعیت توسعه یافته در جدول ۳ ارائه شده است. حصول نتایج مشابه با پژوهش پرچمی عراقی و همکاران (۱۳۹۹) برای مقادیر بهینه سازی شده پارامترهای مجھول

نتایج و بحث

مقادیر بهینه پارامترهای مجھول وارد شده در طرح مدل سازی معکوس و آماره‌های توصیفی مجموعه پارامترهای رفتاری شناسایی شده (حاوی ۱۲۱۲۸ دسته

نسبت به پارامترهای a و K_{sat} برخوردار بوده است؛ به عنوان نمونه، اندرکنش مقادیر رفتاری پارامترهای هیدرولیکی دو لایه خاک در نظر گرفته شده برای مزرعهٔ مطالعاتی در شکل ۱ نشان داده شده است. در این شکل، نحوهٔ پراکنش مقادیر رفتاری پارامترهای هیدرولیکی خاک حاکی از غیریکتایی قابل توجه پارامترهای هیدرولیکی برآورد شده است. این نتیجه با نتایج گزارش شده در پژوهش‌های مشابه گذشته (بینلی و بیون، ۲۰۰۳؛ پولادکو و ماهانتی، ۲۰۱۲؛ شفیعی و همکاران، ۲۰۱۴) مطابقت دارد. یکی از دلایل پایین‌بودن ضریب تغییرات پارامتر q_{sat} را می‌توان به محدود کردن دامنهٔ تغییرات مجاز این پارامتر از طریق حداقل مقدار مشاهداتی رطوبت خاک نسبت داد.

مدل حاکی از قابلیت بالای الگوریتم UPSO در جست‌وجوی سراسری فضای پارامترهای مجھول و یافتن جواب بهینهٔ سراسری مسئلهٔ مدل‌سازی معکوس است. مقادیر آمارهٔ ضریب تغییرات کوچک‌تر از ۲۵ درصد، بین ۲۵ تا ۷۵ درصد و بزرگ‌تر از ۷۵ درصد به ترتیب به عنوان تغییرپذیری ناچیز، بینابینی و تغییرپذیری بالای کمیت مورد بررسی در نظر گرفته می‌شود (یوان‌ای‌پی، ۲۰۱۵). مقایسهٔ ضریب تغییرات مجموعهٔ رفتاری پارامترهای هیدرولیکی خاک (جدول ۳) حاکی از تغییرپذیری بالاتر پارامترهای a و K_{sat} در مقایسه با پارامترهای n و q_{sat} است؛ بنابراین می‌توان گفت در مقایسه با پارامترهای n و q_{sat} ،تابع برآش مدل‌سازی معکوس از حساسیت کمتری



شکل ۱- ماتریس نمودارهای پراکنش مجموعهٔ رفتاری پارامترهای هیدرولیکی خاک (جدول ۳)، حاوی ۱۲۱۲۸ دستهٔ پارامتر رفتاری منحصر به‌فرد

در کاهش عدم قطعیت برآورد این پارامتر مؤثر بوده است. این امر بیانگر اهمیت بهره‌گیری از داده‌های مشاهداتی در کاهش عدم قطعیت پارامترهای برآورد شده و درنتیجه، شبیه‌سازی‌های مدل است. این در حالی است که دامنهٔ تغییرات مجاز سایر پارامترهای هیدرولیکی خاک مورد

مطابق با شکل ۱ مقدار پارامتر q_{sat} در بخش قابل توجهی از دستهٔ پارامترهای رفتاری شناسایی شده بر کران پایین دامنهٔ تغییرات مجاز وضع شده برای این پارامتر تمرکز یافته است؛ بنابراین، وضع کران پایین تغییرات مجاز پارامتر q_{sat} براساس حداقل مقدار رطوبت خاک مشاهداتی

در شکل ۲ ارائه شده است. مقادیر ضرایب همبستگی پیرسون در ماتریس همبستگی محاسبه شده برای پارامترهای رفتاری در دامنه بین -0.92 و 0.87 متفاوت بود. مقادیر مطلق ضریب همبستگی پیرسون در بازه های 0.0 تا 0.2 ، 0.2 تا 0.4 ، 0.4 تا 0.7 ، 0.7 تا 0.9 و 0.9 تا 1.0 به ترتیب به عنوان وجود همبستگی بسیار ضعیف، ضعیف، متوسط، قوی و بسیار قوی معرفی شود (سلیمان نژاد، ۲۰۰۴). بر این اساس، 0.4 ، 0.6 ، 0.7 و 0.8 درصد از ضرایب ماتریس همبستگی محاسبه شده به ترتیب در کلاس های همبستگی بسیار ضعیف، ضعیف، متوسط، قوی و بسیار قوی قرار گرفتند. این نتیجه بیانگر اندرکنش قابل توجه بین پارامترهای واسنجی شده و توانایی طرح تحلیل عدم قطعیت مورد استفاده در این مطالعه به لحاظ جستجوی سراسری و متمرکز نواحی رفتاری فضای پارامترهای مجھول و نمایان ساختن این اندرکنش است.

مقادیر آماره های ارزیابی عملکرد مدل توسعه یافته برای مزرعه مطالعاتی در بازسازی مجموعه داده های واسنجی و صحت سنجی در جدول ۴ ارائه شده است. آماره EF حاکی از عملکرد خوب تا بسیار خوب مدل در بازسازی مجموعه داده های واسنجی و صحت سنجی رطوبت خاک، عمق سطح ایستابی، جریان زهآب خروجی، شاخص سطح برگ، عملکرد نی و عملکرد ساکارز است (جدول ۴). مقادیر آماره NRMSE بیانگر عملکرد خوب تا بسیار خوب مدل در بازسازی مجموعه داده های واسنجی و صحت سنجی نیم رخ غلظت املاح آب خاک و شوری زهآب است. براساس مقادیر آماره p-factor (جدول ۴)، محدوده های 95PPU محاسباتی برای سری زمانی های شبیه سازی شده مرتبط با مؤلفه هیدرولوژی مدل (رطوبت خاک، نوسانات سطح ایستابی و جریان زهآب خروجی از زهکش زیرزمینی) بین 37 تا 88 درصد از مجموعه داده های واسنجی و بین 44 تا 85 درصد از مجموعه داده های صحت سنجی را دربر گرفته اند. بر این اساس، می توان نتیجه گرفت که اثر بخش عمدہ ای از منابع مؤثر بر عدم قطعیت شبیه سازی های مؤلفه های هیدرولوژی مدل در عدم قطعیت پارامترهای واسنجی نمود یافته است.

مقادیر آماره r-factor (جدول ۴) مربوط به محدوده 95PPU محاسباتی برای سری زمانی های شبیه سازی شده فوق برای مجموعه داده های واسنجی و صحت پایی به ترتیب

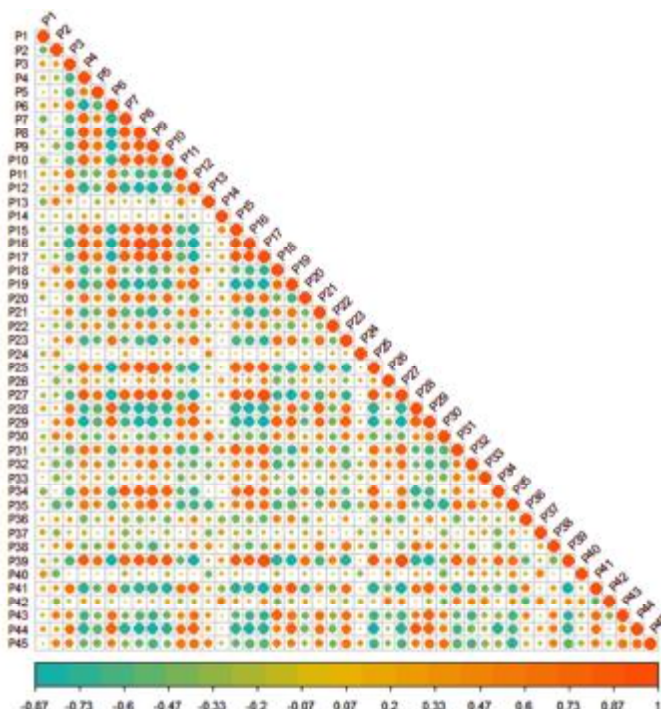
بررسی با در نظر گرفتن کل دامنه تغییرات مجاز فیزیکی آنها براساس بانک اطلاعات خاک گردآوری شده توسط شاپ و لیث (۱۹۹۸) تعیین شد. در این شرایط، مقادیر رفتاری پارامتر n از تغییر پذیری و عدم قطعیت اندکی برخوردار بود؛ بنابراین، می توان نتیجه گرفت که پارامتر n عالمد، حساس ترین پارامتر هیدرولوژیکی خاک بوده است. این یافته با نتیجه پژوهش های گذشته مطابقت دارد که نشان دادند پارامتر n تنها پارامتر مدل و نگوختن است که می تواند بیانگر بافت خاک باشد (هورکمپ و همکاران، ۲۰۰۵؛ پولاکو و ماهانتی، ۲۰۱۲، شفیعی و همکاران، ۲۰۱۴؛ ولینگ و همکاران، ۲۰۲۰). میزان تغییر پذیری مقادیر رفتاری ترم های جریان از کف (جدول ۳)، بیانگر کاهش تدریجی حساسیت آنها در طول دوره شبیه سازی است. علت این امر را می توان به شدت یافتن رویدادهای آبیاری در دوره های میانی و انتهایی شبیه سازی و ناچیز شدن سهم این ترم در بیلان آب نسبت داد. در مقایسه با پارامتر ضریب ایزووترم جذب خطی (K_f), پارامتر ضریب انتشار پذیری برای لایه زیر سطحی خاک (D_{dis}) از حساسیت بیشتری نسبت به تابع هدف مدل سازی معکوس برخوردار بوده است (جدول ۳). دلیل این امر را می توان به کاهش عمق کنترل آب زیرزمینی شور در زهکشی کنترل شده و افزایش حساسیت پارامترهای مؤثر بر انتقال املاح نسبت به پارامترهای مؤثر بر نگهداری املاح در خاک نسبت داد. ضریب تغییرات مقادیر پارامترهای شوری آب زیرزمینی و شوری جریان از کف (جدول ۳) بیانگر حساسیت قابل توجه تابع هدف مدل سازی معکوس نسبت به این دو پارامتر است. در مقایسه با مقاومت زهکشی جمع کننده سطحی، γ_{drain} تابع هدف مدل سازی معکوس از حساسیت بیشتری نسبت به پارامترهای مقاومت زهکشی زیرزمینی آزاد و کنترل شده (به ترتیب، γ_{drain} و $\gamma_{drain,ctrl}$) برخوردار بوده است (جدول ۳). تغییرات مقادیر بهینه و درجه حساسیت پارامترهای S_{LA} و A_{max} در طول دوره رشد گیاه حاکی از اهمیت در نظر گرفتن مقادیر این پارامترها به عنوان تابعی از مرحله رشد گیاه است.

این در حالی است که در اکثر مطالعات مشابه، برای پارامترهای بالا، یک مقدار ثابت در نظر گرفته شده است (وظیفه دوست و همکاران، ۲۰۰۸؛ لی و رن، ۲۰۱۹). ساختار همبستگی بین مقادیر رفتاری پارامترهای واسنجی

محاسبه شده برای شبیه سازی های شوری زه آب خروجی از زهکش زیرزمینی، بخش اندکی از مجموعه داده های واسنجی و صحبت سنگی (به ترتیب ۲۰ و ۱۷ درصد) در این محدوده قرار گرفته اند. دلیل اصلی حصول این نتیجه را می توان به استفاده از داده های واسنجی متنوع و لزوم برآورده شدن همزمان تمامی معیارهای وضع شده برای تمایز شبیه سازی های رفتاری و غیر رفتاری از یکدیگر (جدول ۱) نسبت داد، چرا که در این شرایط، افزایش ضخامت محدوده ۹۵PPU برای شبیه سازی های شوری زه آب خروجی از زهکش زیرزمینی مزمعه، به قیمت برآورده شدن حداقل یکی از معیارهای وضع شده در جدول ۱ صورت خواهد گرفت. براساس مقادیر آماره p-factor محدوده های ۹۵PPU محاسباتی برای شبیه سازی های r-factor متغیرهای بیوفیزیکی با یک ضخامت قابل قبول (r-factor) بین ۰/۹۸ تا ۰/۸۴) بین ۷۵ تا ۱۰۰ درصد از داده های واسنجی را دربر گرفته اند. این نتیجه بیانگر انعکاس مؤثر بخش عده منابع عدم قطعیت در پارامترهای واسنجی است.

بین ۰/۵۲ تا ۱/۰۶ و ۰/۸۷ تا ۱/۳۵ متغیر بود. براساس مقادیر این آماره و شکل ۳ می توان گفت که در برگرفته شدن بخش عده مجموعه داده های واسنجی و صحبت سنگی در محدوده های ۹۵PPU به قیمت افزایش مفرط ضخامت این محدوده صورت نگرفته است. این نتیجه بیانگر سطح قابل قبول عدم قطعیت شبیه سازی های هیدرولوژیکی است. براساس آماره p-factor، محدوده ۹۵PPU اشتراق یافته برای شبیه سازی های نیمرخ غلظت املاح آب خاک ۶۷ درصد از مجموعه داده های واسنجی و ۲/۶۷ صحبت سنگی را با r-factor به ترتیب برابر با ۱/۱۶ و ۰/۶۷ در برگرفته است (جدول ۴).

با این حال، همان طور که در جدول ۴ نیز قابل مشاهده است، دلیل اصلی حصول مقدار بالای آماره r-factor در مرحله صحبت سنگی، نه به دلیل افزایش ضخامت محدوده ۹۵PPU، بلکه به دلیل کاهش شدید تغییر پذیری مجموعه داده صحبت سنگی رخ داده است. شکل ۵ و مقادیر آماره های r-factor و p-factor (جدول ۴)، حاکی از آن است که به دلیل ضخامت ناچیز محدوده ۹۵PPU

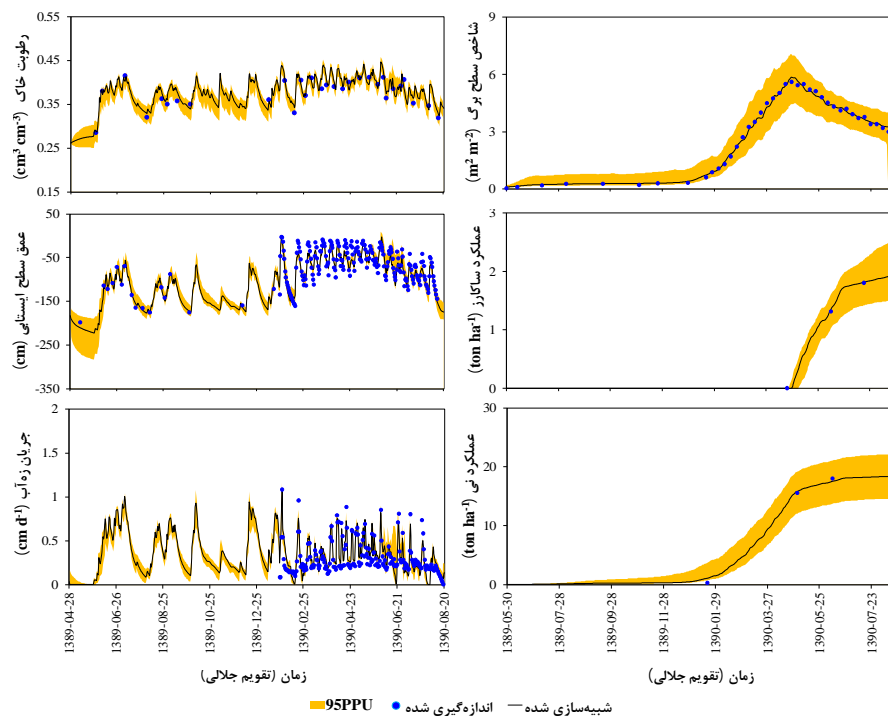


شکل ۲- نمودار ماتریس همبستگی پارامترهای واسنجی رفتاری. نمادهای P1 تا P45 بیانگر کدهای مربوط به هریک از پارامترهای واسنجی (جدول ۳) هستند.

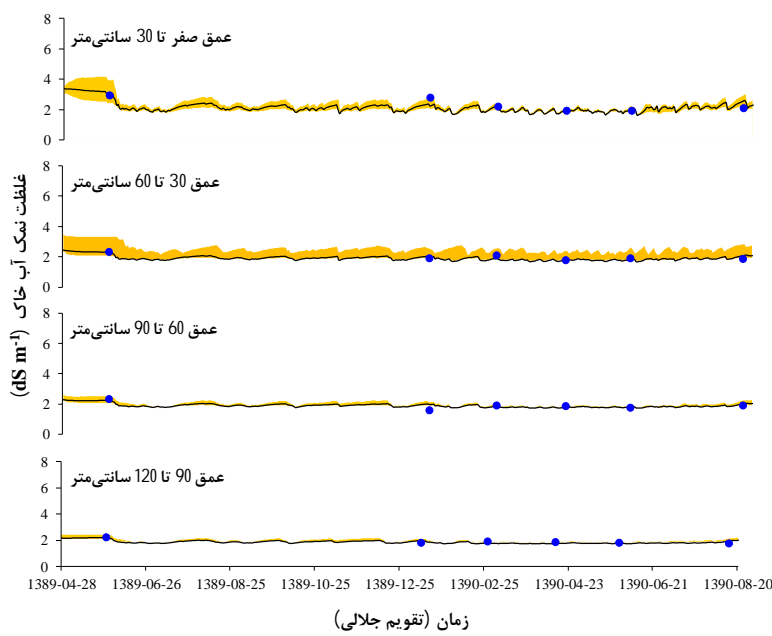
جدول ۴- مقادیر آماره‌های ارزیابی مورد استفاده در تحلیل عدم قطعیت مدل SWAP در شبیه‌سازی انتقال آب، املاح و متغیرهای بیوفیزیکی طی دوره شبیه‌سازی^(*)

آماره ارزیابی				CV	m	مجموعه داده	داده معیار اندازه‌گیری شده
r-factor	p-factor	EF	NRMSE				
۱/۰۶	۸۸	-۰/۸۷۵	-۰/۰۳۳	۹	۱۷	واستنجی	رطوبت خاک ($\text{cm}^3 \text{cm}^{-3}$)
۱/۳۵	۸۵	-۰/۸۰۴	-۰/۰۳۳	۷	۱۳	صحت‌سنگی	
۱/۱۴	۸۷	-۰/۸۵۷	-۰/۰۳۳	۹	۳۰	کل مجموعه داده	
-۰/۵۲	۶۳	-۰/۹۳۳	-۰/۱۶۵	-۶۴	۹۸	واستنجی	عمق سطح ایستایی (cm)
-۰/۹۹	۶۱	-۰/۷۶۰	-۰/۲۳۹	-۴۹	۱۲۲	صحت‌سنگی	
-۰/۷۱	۶۲	-۰/۸۷۶	-۰/۲۰۴	-۵۸	۲۲۰	کل مجموعه داده	
-۰/۵۶	۳۷	-۰/۷۵۱	-۰/۳۳۲	۶۷	۸۱	واستنجی	جریان زه‌آب خروجی (cm d^{-1})
-۰/۸۷	۴۴	-۰/۷۳۹	-۰/۲۸۵	۵۶	۱۲۹	صحت‌سنگی	
-۰/۷۴	۴۱	-۰/۷۴۴	-۰/۳۰۴	۶۰	۲۱۰	کل مجموعه داده	
۱/۱۶	۶۷	-۰/۶۶۴	-۰/۱۰۱	۱۷	۱۲	واستنجی	نیمرخ غلظت املاح آب خاک (dS m^{-1})
۲/۶۷	۶۷	-۰/۴۸۷	-۰/۰۹۲	۵	۱۲	صحت‌سنگی	
۱/۱۴	۶۷	-۰/۶۰۳	-۰/۰۹۸	۱۵	۲۴	کل مجموعه داده	
-۰/۱۹	۲۰	-۰/۰۳۵	-۰/۱۵۹	۱۶	۱۵	واستنجی	شوری زه‌آب (dS m^{-1})
-۰/۴۶	۱۷	-۰/۰۵۲	-۰/۱۴۳	۱۴	۲۳	صحت‌سنگی	
-۰/۳۳	۱۸	-۰/۰۰۲	-۰/۱۵۰	۱۵	۳۸	کل مجموعه داده	
-۰/۹۸	۹۵	-۰/۹۹۶	-۰/۰۴۲	۶۴	۳۹	واستنجی	شاخص سطح برگ ($\text{m}^2 \text{m}^{-2}$)
-۰/۸۵	۷۵	-۰/۹۹۶	-۰/۰۳۵	۵۷	۴	واستنجی	عملکرد نی (ton ha^{-1})
-۰/۸۴	۱۰۰	-۰/۹۹۹	-۰/۰۱۸	۶۱	۴	واستنجی	عملکرد ساکارز (ton ha^{-1})

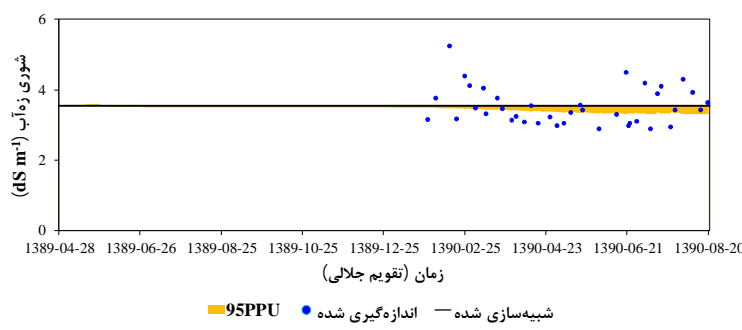
^(*) در این جدول، CV ضریب تغییرات (درصد) کمیت اندازه‌گیری شده و m تعداد مشاهدات است.



شکل ۳- سری زمانی‌های مقادیر اندازه‌گیری شده و شبیه‌سازی شده و محدوده عدم قطعیت پیش‌بینی ۹۵ درصد (95PPU) کمیت‌های معیار مورد استفاده در ارزیابی عملکرد مدل توسعه یافته در شبیه‌سازی انتقال آب و متغیرهای بیوفیزیکی طی دوره شبیه‌سازی. مقادیر عملکرد محصول تولیدی بر حسب وزن ماده خشک است.



شکل ۴- سری زمانی‌های مقادیر اندازه‌گیری شده و شبیه‌سازی شده و محدوده عدم قطعیت پیش‌بینی ۹۵ درصد (95PPU) نیم‌رخ غلظت املاح آب خاک در مزرعهٔ مطالعاتی



شکل ۵- سری زمانی مقادیر اندازه‌گیری شده و شبیه‌سازی شده و محدوده عدم قطعیت پیش‌بینی ۹۵ درصد (95PPU) شوری زه آب خروجی از زهکش زیرزمینی در مزرعهٔ مطالعاتی

پارامترهای واسنجی‌شده حاکی از اهمیت واسنجی مؤلفه‌های مختلف مدل (هیدرولوژی، انتقال املاح/گرما و بیوفیزیکی) با استفاده از داده‌های واسنجی متنوع به صورت موازی و همزمان است؛ از این‌رو اتخاذ یک رویکرد گام‌به‌گام برای واسنجی جداگانه مدل در شبیه‌سازی انتقال آب، انتقال املاح و متغیرهای بیوفیزیکی منجر به محدودشدن نتایج واسنجی مدل در گام ماقبل و اریب‌شدن پارامترهای واسنجی خواهد شد. با این حال، به دلیل دشواری واسنجی مدل در شرایط وجود تعداد زیادی از پارامترهای مجھول، واسنجی مؤلفه‌های مختلف مدل SWAP براساس یک اسلوب گام‌به‌گام رویکردی رایج

نتیجه‌گیری

در این پژوهش، عدم قطعیت شبیه‌سازی‌های توزیعی و زیرروزانه (انجام محاسبات با گام‌های زمانی کوتاه‌تر از ۲۴ ساعت شبانه‌روز) مدل SWAP برای یک مزرعهٔ وسیع نیشکر با مدیریت ترکیبی زهکشی زیرزمینی آزاد/اکنترل شده از طریق روش تلفیقی GLUE-USPO مورد ارزیابی قرار گرفت. نتایج این بررسی حاکی از غیریکتایی قابل توجه پارامترهای واسنجی‌شده، اهمیت تحلیل عدم قطعیت شبیه‌سازی‌های مدل SWAP و دردستداشتن برآورده از کران‌های عدم قطعیت پیش‌بینی‌های مدل بود. وجود ضایعه همبستگی قوی بین

- (۵) ۲۹: یک مطالعه عددی. نشریه آب و خاک. ۱۱۸۹-۱۱۷۳.
۴. صادقی لاری ع. ۱۳۹۱. بررسی اثرات کنترل سطح ایستابی بروی میزان جریان، نیتروژن و فسفر خروجی از زهکش‌های زیرزمینی در نواحی خشک (مطالعه موردي: شعيبیه خوزستان). پایان‌نامه دکتری. دانشگاه شهید چمران، اهواز. ۱۷۸ ص.
5. Abbaspour K. C. 2008. SWAT-CUP2: SWAT Calibration and Uncertainty Programs - A User Manual, 2. Department of Systems Analysis, Integrated Assessment and Modelling (SIAM), Eawag, Swiss Federal Institute of Aquatic Science and Technology, Duebendorf, Switzerland. 95 p.
6. Bastiaanssen W. Tahir Z. Kijne J. W. Barker R. and Molden D. 2003. Upscaling water productivity in irrigated agriculture using remote-sensing and GIS technologies. In: Kijne J.W., Barker R., and Molden D. (Eds.), Water productivity in agriculture: Limits and opportunities for improvement. Wallingford: CABI, pp. 289-300.
7. Bessembinder J. J. E. Dhindwal A. S. Leffelaar P. A. Ponsioen T. and Singh S. 2003. Analysis of crop growth. In: van Dam J. C. and Malik R. S. (Eds.), Water Productivity of Irrigated Crops in Sirsa District, India: Integration of remote sensing, crop and soil models and geographical information systems. Wageningen: Alterra. 59-82.
8. Beven K. 2006. A manifesto for the equifinality thesis. Journal of Hydrology. 320(1-2): 18-36.
9. Beven K. J. and Binley A. 1992. The future of distributed models: model calibration and uncertainty prediction. Hydrological Processes. 6(3): 279-298.
10. Binley A. and Beven K. 2003. Vadose zone flow model uncertainty as conditioned on geophysical data. Groundwater. 41(2): 119-127.
11. Cho H. and Olivera F. 2014. Application of multimodal optimization for uncertainty estimation of computationally expensive hydrologic models. Journal of Water Resources Planning and Management. 140(3): 313-321.
12. Haverkamp R. Leij F. J. Fuentes C. Sciortino A. and Ross P. 2005. Soil water retention: I. Introduction of a Shape Index. Soil Science Society of America Journal. 69(6): 1881-1890.
13. Kroes J. van Dam J. Bartholomeus R. Groenendijk P. Heinen M. Hendriks R. Mulder H. Sutip I. and van Walsum P. 2017. SWAP version 4, Theory description and
- است. نتایج پژوهش حاضر نشان داد که الگوریتم‌های بهینه‌سازی تکاملی نظری UPSO از قابلیت بالایی برای واسنجی مدل در شرایط تعدد پارامترهای مجھول برخوردار هستند. در مقایسه با شبیه‌سازی‌های مرتبط با انتقال املاح، نتایج تحلیل عدم قطعیت شبیه‌سازی‌های مؤلفه‌های هیدرولوژی و بیوفیزیکی مدل SWAP رضایت‌بخش‌تر بود. محدوده‌های عدم قطعیت به دست‌آمده برای این دو مؤلفه، علاوه‌بر دربرگرفتن بخش عمده داده‌های اندازه‌گیری شده، از ضخامت قابل قبول نیز برخوردار بودند. این امر بیانگر اهمیت استفاده از داده‌های واسنجی متنوع در کاهش عدم قطعیت شبیه‌سازی‌های مدل است. عملکرد متفاوت مدل در بازسازی داده‌های اندازه‌گیری شده غلظت املاح آب خاک و شوری زه‌آب خروجی از زهکش زیرزمینی مؤید آن است که قضاوت در خصوص عملکرد مؤلفه شبیه‌سازی انتقال املاح مدل از طریق بررسی عملکرد مدل در بازسازی، تنها یکی از دو مجموعه‌داده فوق کفايت نمی‌کند؛ به عبارت دیگر، عملکرد قابل قبول مدل در شبیه‌سازی نیم‌رخ غلظت املاح آب خاک لزوماً، به معنای عملکرد مناسب آن در شبیه‌سازی شوری زه‌آب خروجی نیست و برعکس.

منابع

۱. پرچمی عراقی ف. سمیع‌پور ف. و صادقی لاری ع. ۱۳۹۹. مدل سازی زراعی - هیدرولوژیکی توزیعی و زیرروزانه یک سیستم زراعی کشت نیشکر با مدیریت ترکیبی زهکشی زیرزمینی آزاد/کنترل شده. مجله پژوهش آب ایران. ۴(۳۹): ۵۳-۶۶.
۲. پرچمی عراقی ف. میرلطیفی س. م. قربانی دشتکی ش. وظیفه‌دوست م. و صادقی لاری ع. ۱۳۹۴. توسعه یک چارچوب ریزمقیاس‌سازی بهمنظر برآورد تبخیر-تعرق مرجع زیرروزانه: ۲- برآورد تبخیر-تعرق زیرروزانه با استفاده از داده‌های هواشناسی روزانه ریزمقیاس‌شده. نشریه آب و خاک. ۱۷۳۴-۱۷۲۱: (۶).
۳. پرچمی عراقی ف. میرلطیفی س. م. قربانی دشتکی ش. و صادقی لاری ع. ۱۳۹۴. مقایسه تبخیر-تعرق مرجع پنم-مانتیث ASCE و پنم-مانتیث فائو-۵۶ در مقیاس‌های زمانی زیرروزانه مختلف:

- crop simulation model implemented in CGMS. Joint research centre; European commission.
24. Tolson B. A. and Shoemaker C. A. 2008. Efficient prediction uncertainty approximation in the calibration of environmental simulation models. *Water Resources Research*. 44(4): W04411.
 25. United Nations Environment Programme (UNEP). 2015. Nile River Basin: Nile Basin Adaptation to Water Stress: Comprehensive Assessment of Flood & Drought Prone Areas. (Available at: <http://wedocs.unep.org/handle/20.500.11822/14067>).
 26. Vazifedoust M. van Dam J.C. Feddes R. A. and Feizi M. 2008. Increasing water productivity of irrigated crops under limited water supply at field scale. *Agricultural Water Management*. 95(2): 89-102.
 27. Wesseling J. Kroes J. Oliveira T. C. and Damiano F. 2020. The impact of sensitivity and uncertainty of soil physical parameters on the terms of the water balance: Some case studies with default R packages. PartII: Results and discussion. *Computers Electronics in Agriculture*. 170: 105072.
 28. Yang J. Reichert P. Abbaspour K. C. Xia J. and Yang H. 2008. Comparing uncertainty analysis techniques for a SWAT application to the Chaohe Basin in China. *Journal of Hydrology*. 358(1): 1-23.
 - user manual. Technical Report. Wageningen Environmental Research, ESG Report 2780, Alterra, Wageningen, The Netherlands.
 14. Li P. and Ren L. 2019. Evaluating the effects of limited irrigation on crop water productivity and reducing deep groundwater exploitation in the North China Plain using an agro-hydrological model: I. Parameter sensitivity analysis, calibration and model validation. *Journal of Hydrology*. 574: 497-516.
 15. Loague K. and Green R. E. 1991. Statistical and graphical methods for evaluating solute transport models: overview and application. *Journal of contaminant hydrology*. 7(1): 51-73.
 16. Moriasi D. N. Arnold J. G. van Liew M. W. Bingner R. L. Harmel R. D. and Veith T. L. 2007. Model evaluation guidelines for systematic quantification of accuracy in watershed simulations. *Transactions of the ASAE* 50(3): 885-900.
 17. Mugunthan P. and Shoemaker C. A. 2006. Assessing the impacts of parameter uncertainty for computationally expensive groundwater models. *Water Resources Research*. 42(10): W10428.
 18. Parsopoulos K. E. and Vrahatis M. N. 2004. UPSO: A unified particle swarm optimization scheme. In: Simos T. and Maroulis G. (Eds.), *Proceedings of international conference on computational methods in sciences and engineering (ICCMSE 2004)*. Lecture Series on Computer and Computational Sciences, Zeist: VSP International Science Publishers. 868-873.
 19. Pollacco J. A. P. and Mohanty B. P. 2012. Uncertainties of water fluxes in soil–vegetation–atmosphere transfer models: Inverting surface soil moisture and evapotranspiration retrieved from remote sensing. *Vadose Zone Journal*. 11(3): vzj2011. 0167.
 20. Schaap M. G. and Leij F. J. 1998. Database-related accuracy and uncertainty of pedotransfer functions. *Soil Science*. 163(10): 765-779.
 21. Shafiei M. Ghahraman B. Saghafian B. Davary K. Pande S. and Vazifedoust M. 2014. Uncertainty assessment of the agro-hydrological SWAP model application at field scale: A case study in a dry region. *Agricultural Water Management*. 146: 324-334.
 22. Soleimannejad F. 2004. Six Sigma, Basic Steps and Implementation. AuthorHouse, Bloomington, Indiana, USA, 248 p.
 23. Sutip I. Hooijer A. A. and van Diepen C. A. 1994. System description of the Wofost 6.0

